#### в. А. КОТИКЯН

## ПОЛЗУЧЕСТЬ БЕТОНА ПРИ ДВУХОСНОМ РАСТЯЖЕНИИ

Настоящая работа посвящена исследованию полаучести бетона при сложном напряженном состоянии внутреннее давление с растяжением (днухосное растяжение), выполненному автором под руководством кандидата технических наук К. С. Карапетяна.

Как и в работах [2, 3], испытывались полые цилиндрические образцы с наружным диаметром 204 мм, толщиной стенок 20 мм, высотой 800 мм, изготовленные из мелкозернистого бетона на кнарценом песке и темпонажном цементе марки 800. Состав бетона приведен в табл. 1.

				Tahanga 1	
Состав бетона по весу	Расход	материола	на 1 м <sup>1</sup>	Объемный пес бетона в кл см <sup>3</sup>	
1:2.07	614	1273	362	2,25	

Всего было изготонлено 36 образцов (по 18 шт. из каждого замеса бетона), которые до момента испытания хранились во влажных услопиях при температуре  $T=21\pm 2^{\circ}\mathrm{C}$  и относительной влажности  $P=97=2^{\circ}\mathrm{I}_{\mathrm{e}}$ .

Образцы, изготовленные из первого замеса (18 шт.), были испытаны под кратковременной нагрузкой в возрасте 28 дней с целью изучения прочности и деформативности бетона при сложном напряженном состоянии, а также при чистом растяжении и внутреннем давлении. При испытании на сложное напряженное состояние сначала для каждого образца ступенчатым повышением создавалось внутреннее давление определенной всличины, а затем ступенчатым новышением осеной растягивающей нагрузки образец доводился до разрушения. Предельные величины внутренних давлений до начала второго этапа нагружения составляли: 0.70; 1.20; 1.70; 2.20 кг см. Испытанием образцов на чистое растяжение определялась прочность образцов на осевое растяжение ( $R_{12}$ ).

Во всех атих испытаниях замерялись продольные и поперечные деформации образцов.

Напряжения от внутреннего дапления в тангенциальном и радиальном направлениях определялись по формулам

$$\sigma_{yy} = \frac{pr^2}{R^2 - r^2} \left( 1 + \frac{R^2}{\xi^2} \right)$$

$$\sigma_{zz} = \frac{pr^2}{R^2 - r^2} \left( 1 - \frac{R^2}{\xi^2} \right)$$
(1)

В этих формулах  $R_i$  э и r — наружный, средний и внутренний радиусы поперечного сечения образиа, а p — внутреннее давление в  $\kappa v(c,n)$ .

При определения напряжения от растягинающей нагрузки была учтена и та часть осевой силы, которая создавала внутреннее давление, прикладываемое как к боковым поверхностям образця, так и к торцевым заглушкам.

Прочностные показатели опытных образцов приведены в табл. 2.

					7 облица		
ракі см3	0.00	0.70	1.20	1.70	2.20	4.08	
REE E REGAR	17.2	14.8	14.9	15.5	14,9	0.00	

Рассматривах прочностные данные, замечаем, что начальное внутреннее давление, когда оно создает напряжение, не превышающее  $0.55\,R_{\rm L}$  приводит к некоторому уменьшению прочности бетонных трубчатых образцоп на растяжение  $(R_{xx}^{\dagger})$ .

Для описания кривых деформаций, как и в предыдущих наших работах [2, 3], была использована зависимость

$$z_{xx} = A z_{xx} = B z_{xy}^n \tag{2}$$

где A, B и n — параметры, определяемые на опыта.

В результате описания экспериментальных данных деформаций трубчатых бетонных образцов в случае чистого растяжения получены следующие значения опытных параметров:

$$10^{5} A = 0.393 \frac{1}{\kappa^{2}}$$

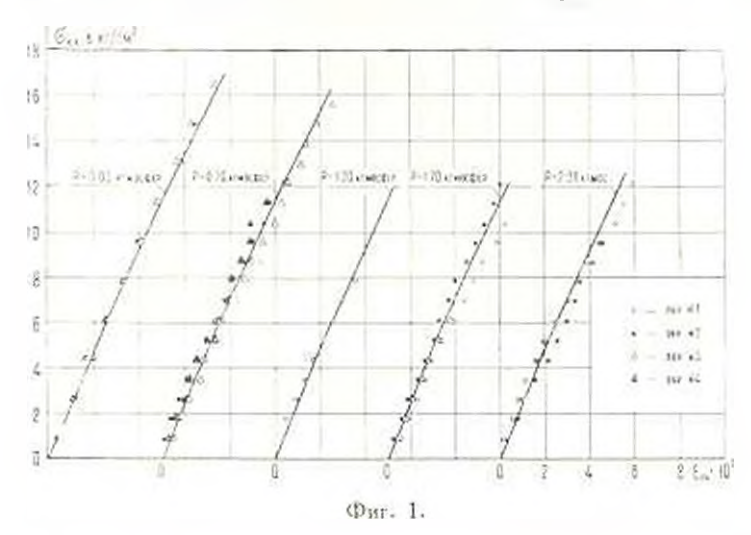
$$10^{5} B = 0.004 \frac{1}{\kappa^{2}}$$

$$n = 2$$
(3)

Как видим, на фиг. 1 кривая, построенная на основании зависимости (2) с соответствующими значениями опытных нараметров (3), дает несьма удовлетворительную сходимость с опытными двиными.

Исследование показало, что первоначальное внутреннее давление, когд последнее создает напряжение, не превышающее 0.55 R, не оказывает существенного влияния на деформации бетоиных цилиндрических оболочек при испытации на внутреннее давление с последую-

щим растяжением. Это видно из фиг. 1, где сплошными линиями представлены теоретические кривые второго этапа нагружения, соотнетстнующие разным значениям внутреннего давления (при построении этих кривых за начало координат принята точка догрузки).



В табл. З принедены касательные модули деформации бетонных трубчатых образцов при различных значениях эхг.

					Таблица з		
7 <sub>2.1</sub> H K1 CK <sup>3</sup>	0	2	4	6	8	10	
Е и ти см-	254	244	235	227	219	211	

Для исследования ползучести бетонных трубчатых образцов были использованы остальные 18 образцов, изготовленные из иторого замеса бетона. В момент длительного загружения в возрасте 28 дней все образны гидроизолировались от влагопотери путем нанесения нескольких слоев расилавленного парафина и в дальнейшем хранились в обычных условиях (T=22=4 C, P=82=7%).

Всего длительному загружению были подвергнуты 8 образдов, из коих 6 сложному напряженному состоянию и 2 чистому растяжению. Внутреннее давление для всех образдов составляло 1.20 кг см°, а растягивающее напряжение для каждой пары сложно-запряженных образдов — 4.15; 6.75; 9.34 кг см°. В образдах, загруженных на чистое растяжение, г., = 7.79 кг см°.

При загружении образцов на длительную нагрузку как растягивающая нагрузка, так и внутреннее дзиление прикладывались одновременно и выдраживались постоянными по время всего опыта.

В процессе опытов, кроме измерения продольных и поперачных деформаций длительно загруженных образцов, параллельно на трех ненагруженных образцах-близнецах замерялись усадочные деформа-

ции. Деформации ползучести определялись как алгебраическая сумма деформаций загруженных и незагруженных образцов.

Интенсивности напряжений и деформаций полаучести при сложнонапряженном состоянии определяются по формулам [1, стр. 295]

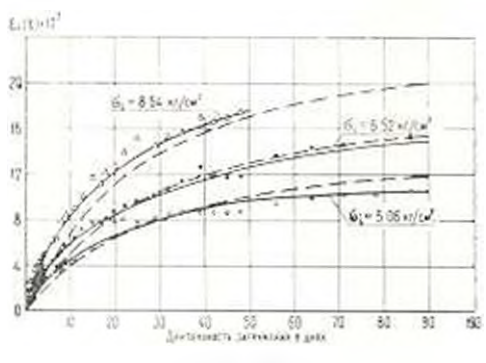
$$z_i = \frac{1}{1/2} \sqrt{(z_{ij} - z_{jq})^2 - (z_{ij} - z_{iz})^2 + (z_{ij} - z_{iz})^2}$$
 (4)

$$\varepsilon_{i}^{n}(t) = \frac{1 \cdot 2^{2}}{3} V \left[ \left[ \varepsilon_{i}^{n}(t) - \varepsilon_{gg}^{n}(t) \right]^{2} - \left[ \varepsilon_{xx}^{n}(t) \right]^{2} + \left[ \varepsilon_{yy}^{n}(t) \right]^{2} \right]$$
 (5)

При определении по формуле (5) интенсивности деформаций ползучести трубчатых бетонных образцов при сложном напряженном состоянии, ввиду незначительности, деформация ползучести  $z_{--}(t)$  пренебрегалась. Основанием для этого являлось то, что максимальное сжимающее напряжение ( $z_{--}$ ) в стенках трубчатых образцов от действия внутреннего давления составляло 1.2 кг см², т. с. псего лишь 0.004 от предела прочности бетона на сжатие. С другой сторочы, ввиду малой неличины коэффициента Пуассона пренебрежима и та часть деформаций  $z_{--}(t)$ , которую претерпевает образец в направлении оси z под действием осеной растягивающей нагрузки.

Эксперименты проводились, по существу, для случая трехосного неоднородного напряженного состояния, однако наибольшее напряжение  $\tau_{xx}$  составляло около  $25\,^{\rm o}$   $\tau_{yy}$ , а средняя пеличина  $\sigma_{xx}$  около  $12\,^{\rm o}$   $\tau_{yy}$ . В связи с относительно небольшими значениями и явиду того, что по характеру—сжимающее напряжение, можно считать, что испытуемые образцы находились в условиях, сравнительно близких к двухосному растяжению.

На фиг. 2 сплошными линиями показаны осредненные экспериментальные кривые интенсивностей деформаций ползучести бетонных цилиндрических оболочек при сложно-напряженном состоянии (внутреннее дапление с растяжением).



Фис. 2.

Для описания экспериментальных кривых ползучести нами использована зависимость теории упруго-ползучего тела, имеющая следующий вид:

$$z_i^a(t, \tau) = z_i(\tau) [1 - 0.5[e^{-\tau} + e^{-\tau}]]z_i$$
 (6)

где  $\varphi(z)$  — функция старения,  $\gamma_1$  и  $\gamma_2$  — опытыме параметры, а  $\tau_1$  н  $\varepsilon_i^a(t)$  на основании данных экспериментов определяются зависимостями (4) и |5|.

Поскольку и наших опытах образцы были загружены в одном возрасте (1 28 дней) и длительная нагрузка в течение всего опыта выдерживалась неизменной, то  $\phi$  (1) имеет постоянное значение.

На фиг. 2 пунктиром показаны теоретические кривые, построенные по записимости

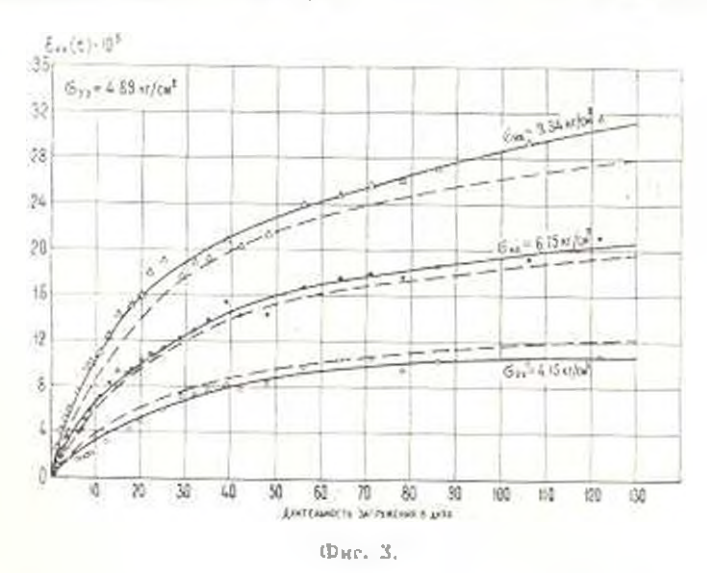
$$10^{-1}(t) = 3.5[1 - 0.5(e^{-0.65t} + e^{-0.5(6t)})] z_t$$
 (7)

Как видим, расхождение экспериментальных и теоретических кривых ползучести находится в предслах точности опыта.

На фиг. 3 сплошными лишими показаны экспериментальные кривые продольных деформаций подзучести бетопных трубчатых образцов, находящихся в условиях сложного напряженного состояния. Указанные крипые удовлетворительно описынаются зависимостью

$$10^{5}\varepsilon_{xx}^{5}(t) = 4.05\left[1 - 0.5\left(e^{-10.07t} - e^{-10.07t}\right)\right]\varepsilon_{xx} \tag{8}$$

Выше отмечалось, что для всех образцов, загруженных на сложное напряженное состояние, впутрениее дапление  $-p=1.20~\kappa r$  сле.

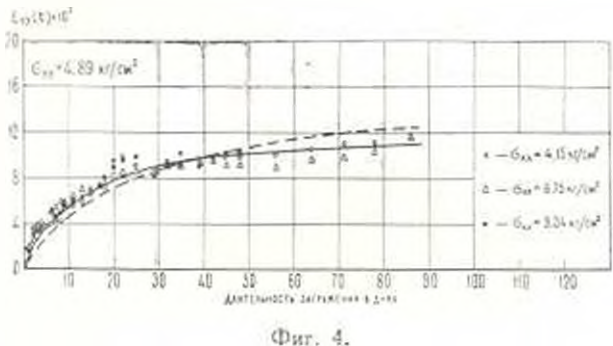


На фиг. 4 сплошной линией показана осредненная экспериментальная кривая ползучести от внутреннего давления (растяжение в тангенциальном направления), а пунктиром теоретическая кривая, рассчитанная по формуле

$$10^{5}z_{yy}^{n}(t) = 3.91 \left[1 - 0.5\left(e^{-0.65t} + e^{-t}\right)\right]$$
 (9)

Как видим, формула (9) вполне удовлетворительно аппроксимирует экспериментальные данные.

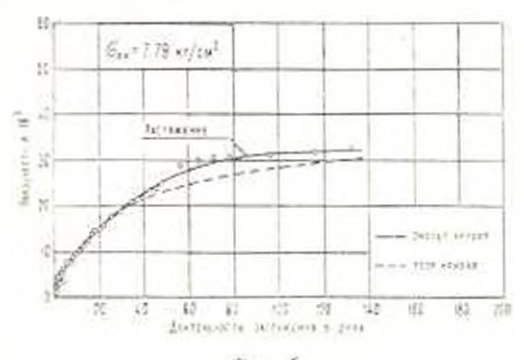
Рассмотрим теперь кривую ползучести чистого растяжения с точки зрения установления возможности перехода от простого напряженного состояния к сложному напряженному состоянию.



На фиг. 5 сплошной линией представлена экспериментальная криная деформаций ползучести бетонных трубчатых образцов пра чистом растяжения. Исследования показали, что кривая полаучести чистого растяжения хорошо аппроксимируется зависимостью (10)

$$10^{8} \varepsilon_{x}^{n}(t) = 5.25 \left[1 - 0.5 \left(e^{-0.10} - e^{-0.015t}\right)\right] \varepsilon_{x}, \tag{10}$$

Кривая, построенная по данной зависимости, показан пунктиром.



Фит. 5.

Сравнивая формулы (7) и (10), замечаем, что они расходятся лишь числовыми коэффициентами. Отсюда заключаем, что имея кривую продольной деформации полаучести осеного растяжения бетонных трубчатых образцов, можно найти кривую ползучести таких же образцов при сложном напряженном состоянии (внутрениее давление с последующим растяжением) в случае, когда

$$r = \frac{z}{z_0} = \frac{4.89 \kappa v_0 c M^2}{z_0} = 1.178, 0.724, 0.524$$

### выводы

- 1. В пределах рассматриваемых в опытах напряжений
- а) внутреннее давление не оказывает влияния на зависимость
   з<sub>\*\*</sub> = (з<sub>\*\*</sub>) полых цилкндрических бетонных образцов при сложном
   нагружения,
- б) криная ползучести чистого растяжения подобна кривым ползучести сложного напряженного состояния (внутреннее давление с растяжением), построенным в координатах интенсивность деформаций ползучести время.
- 2. Закон липейного деформирования ползучести подтверждается при сложном нагружении (внутреннее давление с растяжением).
- 3. Теория упруго-ползучего тела Маслова-Арутюняна вполне применима для описания деформаций ползучести бетонных трубчатых образцов при двухосном растяжении в пределах динейной ползучести

Институт математики и механики

АН Армянской ССР

Поступила 2 VIII 196

DE IL GUSTUSHA

#### - ՔԵՏՈւֆ ՅՈՂՔԸ ԵՐԿԱՌԱԵՑՔ ՉԳՄԱՆ ԳԵՊՔՈՒՄ

## It of the notion of

Հարվածում ընթվամ են ընտոնի ռողջի էրագերիժենտա։ հետարատ Թյանների արդյանըները ներքին ճնշում-ձգում լարվածային վիճակում։ Փոր ձարկման են ենքարկվել 204 մմ արտարին արամագինվ 20 մմ պատեր տաստ Թյամը և 800 մմ երկարա Թյամբ բետոնե գյանային Թադան Մներ։

Հետազոտա խկտանները ցույց են տվել, որ դիտարկվող լարանների ոտա ժաններում ներքին ձևշունները չեն տղպում,  $z_{xx}=z_{xx}(z_{xx})$  կապի վրա թանավորման դեպքում ։

Սոգլի է ջապերիմ հնատ կորհրը գրանցվել են Մասլով-Հարա լասլան, առածգա-սոգրային ժարմնի տեսախլամը, ստացված բեղամները ձեն դերա դանցում փորձի չատիկան սահմանները։ Սոգլի գծային ցե հորմացիաները անուսխյանը հաստատվում է նաև բարգ ընդնավորման դեպքում։

#### R. A. KOTIKIAN

## THE CREEP OF CONCRETE IN TWO AXES STRAINING

# Summary

Results of experimental investigations of creep for concrete tub subjected to the inner pressure and extention are examined.

The investigations have shown that in limits of examined stresse

the inner pressures do not influence on the dependence  $z_{xx} = z_{xx}(\tau_{xx})$  for compound stressed state. The curve of creep in pure stretch is similar to the curve of creep of compound stressed state. The theory of the deformations of the linear creep is confirmed for compound loading.

#### AHTEPATYPA

- Арутиння Н. Х. Некоторые вопросы теории ползучести. Гостехтеориздат, М. А., 1952.
- 2. Карапетян К. С. и Котикин Р. А. Ползучесть бетона при сложно-напряжением состоянии. Изв. АН АрмССР, Механика, т. XIX, № 4, 1966.
- 3. Котикли Р. А. Влияние возраста на полоучесть бетова при сжатии с последующим кручением. Изв. АН АрмССР, Механика, т. XX, № 4, 1967.
- Каранстян К. С., Котикан Р. А. Исследование прочности и деформативности бетова при сложно-напряженном состоянии. Дома АН АрмССР, т. XXXIX, № 4, 1964.